

# テクニカルインフォメーション / Technical Information

IGBT-モジュール  
IGBT-modules

# FP50R12KT4



EconoPIM™2 Modul mit Trench/Feldstopp IGBT4 und Emitter Controlled4 Diode  
EconoPIM™2 module with trench/fieldstop IGBT4 and Emitter Controlled4 diode

## IGBT- インバータ / IGBT,Inverter

### 最大定格 / Maximum Rated Values

暫定データ  
Preliminary Data

コレクタ・エミッタ間電圧 Collector-emitter voltage	$T_{vj} = 25^\circ\text{C}$	$V_{CES}$	1200	V
連続DCコレクタ電流 Continuous DC collector current	$I_C = 95^\circ\text{C}, T_{vj \max} = 175^\circ\text{C}$	$I_{C \text{ nom}}$	50	A
繰り返しピークコレクタ電流 Repetitive peak collector current	$t_P = 1 \text{ ms}$	$I_{CRM}$	100	A
トータル損失 Total power dissipation	$T_C = 25^\circ\text{C}, T_{vj \max} = 175^\circ\text{C}$	$P_{tot}$	280	W
ゲート・エミッタ間ピーク電圧 Gate-emitter peak voltage		$V_{GES}$	+/-20	V

### 電気的特性 / Characteristic Values

			min.	typ.	max.
コレクタ・エミッタ間飽和電圧 Collector-emitter saturation voltage	$I_C = 50 \text{ A}, V_{GE} = 15 \text{ V}$ $T_{vj} = 25^\circ\text{C}$ $I_C = 50 \text{ A}, V_{GE} = 15 \text{ V}$ $T_{vj} = 125^\circ\text{C}$ $I_C = 50 \text{ A}, V_{GE} = 15 \text{ V}$ $T_{vj} = 150^\circ\text{C}$	$V_{CE \text{ sat}}$		1,85 2,15 2,25	2,25 V V V
ゲート・エミッタ間しきい値電圧 Gate threshold voltage	$I_C = 1,70 \text{ mA}, V_{CE} = V_{GE}, T_{vj} = 25^\circ\text{C}$	$V_{GTh}$	5,2	5,8	6,4
ゲート電荷量 Gate charge	$V_{GE} = -15 \text{ V} \dots +15 \text{ V}$	$Q_G$		0,38	$\mu\text{C}$
内蔵ゲート抵抗 Internal gate resistor	$T_{vj} = 25^\circ\text{C}$	$R_{Gint}$		4,0	$\Omega$
入力容量 Input capacitance	$f = 1 \text{ MHz}, T_{vj} = 25^\circ\text{C}, V_{CE} = 25 \text{ V}, V_{GE} = 0 \text{ V}$	$C_{ies}$		2,80	$n\text{F}$
帰還容量 Reverse transfer capacitance	$f = 1 \text{ MHz}, T_{vj} = 25^\circ\text{C}, V_{CE} = 25 \text{ V}, V_{GE} = 0 \text{ V}$	$C_{res}$		0,10	$n\text{F}$
コレクタ・エミッタ間遮断電流 Collector-emitter cut-off current	$V_{CE} = 1200 \text{ V}, V_{GE} = 0 \text{ V}, T_{vj} = 25^\circ\text{C}$	$I_{CES}$		1,0	mA
ゲート・エミッタ間漏れ電流 Gate-emitter leakage current	$V_{CE} = 0 \text{ V}, V_{GE} = 20 \text{ V}, T_{vj} = 25^\circ\text{C}$	$I_{GES}$		100	$n\text{A}$
ターンオン遅れ時間 (誘導負荷) Turn-on delay time, inductive load	$I_C = 50 \text{ A}, V_{CE} = 600 \text{ V}$ $T_{vj} = 25^\circ\text{C}$ $V_{GE} = \pm 15 \text{ V}$ $T_{vj} = 125^\circ\text{C}$ $R_{Gon} = 15 \Omega$ $T_{vj} = 150^\circ\text{C}$	$t_{d \text{ on}}$		0,16 0,17 0,17	$\mu\text{s}$ $\mu\text{s}$ $\mu\text{s}$
ターンオン上昇時間 (誘導負荷) Rise time, inductive load	$I_C = 50 \text{ A}, V_{CE} = 600 \text{ V}$ $T_{vj} = 25^\circ\text{C}$ $V_{GE} = \pm 15 \text{ V}$ $T_{vj} = 125^\circ\text{C}$ $R_{Gon} = 15 \Omega$ $T_{vj} = 150^\circ\text{C}$	$t_r$		0,03 0,04 0,04	$\mu\text{s}$ $\mu\text{s}$ $\mu\text{s}$
ターンオフ遅れ時間 (誘導負荷) Turn-off delay time, inductive load	$I_C = 50 \text{ A}, V_{CE} = 600 \text{ V}$ $T_{vj} = 25^\circ\text{C}$ $V_{GE} = \pm 15 \text{ V}$ $T_{vj} = 125^\circ\text{C}$ $R_{Goff} = 15 \Omega$ $T_{vj} = 150^\circ\text{C}$	$t_{d \text{ off}}$		0,33 0,43 0,45	$\mu\text{s}$ $\mu\text{s}$ $\mu\text{s}$
ターンオフ下降時間 (誘導負荷) Fall time, inductive load	$I_C = 50 \text{ A}, V_{CE} = 600 \text{ V}$ $T_{vj} = 25^\circ\text{C}$ $V_{GE} = \pm 15 \text{ V}$ $T_{vj} = 125^\circ\text{C}$ $R_{Goff} = 15 \Omega$ $T_{vj} = 150^\circ\text{C}$	$t_f$		0,08 0,15 0,17	$\mu\text{s}$ $\mu\text{s}$ $\mu\text{s}$
ターンオンスイッチング損失 Turn-on energy loss per pulse	$I_C = 50 \text{ A}, V_{CE} = 600 \text{ V}, L_S = 20 \text{ nH}$ $T_{vj} = 25^\circ\text{C}$ $V_{GE} = \pm 15 \text{ V}, di/dt = 1400 \text{ A}/\mu\text{s}$ ( $T_{vj} = 150^\circ\text{C}$ ) $T_{vj} = 125^\circ\text{C}$ $R_{Gon} = 15 \Omega$ $T_{vj} = 150^\circ\text{C}$	$E_{on}$		5,70 7,70 8,40	$\text{mJ}$ $\text{mJ}$ $\text{mJ}$
ターンオフスイッチング損失 Turn-off energy loss per pulse	$I_C = 50 \text{ A}, V_{CE} = 600 \text{ V}, L_S = 20 \text{ nH}$ $T_{vj} = 25^\circ\text{C}$ $V_{GE} = \pm 15 \text{ V}, du/dt = 3600 \text{ V}/\mu\text{s}$ ( $T_{vj} = 150^\circ\text{C}$ ) $T_{vj} = 125^\circ\text{C}$ $R_{Goff} = 15 \Omega$ $T_{vj} = 150^\circ\text{C}$	$E_{off}$		2,80 4,30 4,80	$\text{mJ}$ $\text{mJ}$ $\text{mJ}$
短絡電流 SC data	$V_{GE} \leq 15 \text{ V}, V_{CC} = 900 \text{ V}$ $V_{CEmax} = V_{CES} - L_{SC} \cdot di/dt$	$I_{SC}$	180		A
ジャンクション・ケース間熱抵抗 Thermal resistance, junction to case	IGBT部 (1素子当り) / per IGBT	$R_{thJC}$		0,54	K/W
ケース・ヒートシンク間熱抵抗 Thermal resistance, case to heatsink	IGBT部 (1素子当り) / per IGBT $\lambda_{Paste} = 1 \text{ W}/(\text{m}\cdot\text{K})$ / $\lambda_{grease} = 1 \text{ W}/(\text{m}\cdot\text{K})$	$R_{thCH}$		0,295	K/W
動作温度 Temperature under switching conditions		$T_{vj op}$	-40	150	°C

prepared by: AS	date of publication: 2013-11-04
approved by: RS	revision: 2.0

**暫定データ  
Preliminary Data**
**Diode、インバータ / Diode, Inverter**
**最大定格 / Maximum Rated Values**

ピーク繰返し逆電圧 Repetitive peak reverse voltage	$T_{vj} = 25^\circ\text{C}$	$V_{RRM}$	1200	V
連続DC電流 Continuous DC forward current		$I_F$	50	A
ピーク繰返し順電流 Repetitive peak forward current	$t_p = 1 \text{ ms}$	$I_{FRM}$	100	A
電流二乗時間積 $I^2t$ - value	$V_R = 0 \text{ V}, t_p = 10 \text{ ms}, T_{vj} = 125^\circ\text{C}$	$I^2t$	560	$\text{A}^2\text{s}$

**電気的特性 / Characteristic Values**

			min.	typ.	max.
順電圧 Forward voltage	$I_F = 50 \text{ A}, V_{GE} = 0 \text{ V}$	$T_{vj} = 25^\circ\text{C}$	$V_F$	1,70 1,65 1,65	2,15 V V
	$I_F = 50 \text{ A}, V_{GE} = 0 \text{ V}$	$T_{vj} = 125^\circ\text{C}$			
	$I_F = 50 \text{ A}, V_{GE} = 0 \text{ V}$	$T_{vj} = 150^\circ\text{C}$			
ピーク逆回復電流 Peak reverse recovery current	$I_F = 50 \text{ A}, -di_F/dt = 1400 \text{ A}/\mu\text{s} (T_{vj}=150^\circ\text{C})$	$T_{vj} = 25^\circ\text{C}$	$I_{RM}$	54,0 60,0 63,0	A A A
	$V_R = 600 \text{ V}$	$T_{vj} = 125^\circ\text{C}$			
	$V_{GE} = -15 \text{ V}$	$T_{vj} = 150^\circ\text{C}$			
逆回復電荷量 Recovered charge	$I_F = 50 \text{ A}, -di_F/dt = 1400 \text{ A}/\mu\text{s} (T_{vj}=150^\circ\text{C})$	$T_{vj} = 25^\circ\text{C}$	$Q_r$	5,50 8,80 10,0	$\mu\text{C}$ $\mu\text{C}$ $\mu\text{C}$
	$V_R = 600 \text{ V}$	$T_{vj} = 125^\circ\text{C}$			
	$V_{GE} = -15 \text{ V}$	$T_{vj} = 150^\circ\text{C}$			
逆回復損失 Reverse recovery energy	$I_F = 50 \text{ A}, -di_F/dt = 1400 \text{ A}/\mu\text{s} (T_{vj}=150^\circ\text{C})$	$T_{vj} = 25^\circ\text{C}$	$E_{rec}$	1,70 3,00 3,70	$\text{mJ}$ $\text{mJ}$ $\text{mJ}$
	$V_R = 600 \text{ V}$	$T_{vj} = 125^\circ\text{C}$			
	$V_{GE} = -15 \text{ V}$	$T_{vj} = 150^\circ\text{C}$			
ジャンクション・ ケース間熱抵抗 Thermal resistance, junction to case	/Diode ( 1 素子当り ) / per diode		$R_{thJC}$		0,81 K/W
ケース・ ヒートシンク間熱抵抗 Thermal resistance, case to heatsink	/Diode ( 1 素子当り ) / per diode $\lambda_{Paste} = 1 \text{ W}/(\text{m}\cdot\text{K}) / \lambda_{grease} = 1 \text{ W}/(\text{m}\cdot\text{K})$		$R_{thCH}$	0,44	K/W
動作温度 Temperature under switching conditions			$T_{vj op}$	-40	150 °C

**Diode、整流器 / Diode, Rectifier**
**最大定格 / Maximum Rated Values**

ピーク繰返し逆電圧 Repetitive peak reverse voltage	$T_{vj} = 25^\circ\text{C}$	$V_{RRM}$	1600	V
最大実効順電流/chip Maximum RMS forward current per chip	$T_c = 80^\circ\text{C}$	$I_{FRMSM}$	70	A
整流出力の最大実効電流 Maximum RMS current at rectifier output	$T_c = 80^\circ\text{C}$	$I_{RMSM}$	80	A
サージ順電流 Surge forward current	$t_p = 10 \text{ ms}, T_{vj} = 25^\circ\text{C}$ $t_p = 10 \text{ ms}, T_{vj} = 150^\circ\text{C}$	$I_{FSM}$	450 370	A A
電流二乗時間積 $I^2t$ - value	$t_p = 10 \text{ ms}, T_{vj} = 25^\circ\text{C}$ $t_p = 10 \text{ ms}, T_{vj} = 150^\circ\text{C}$	$I^2t$	1000 685	$\text{A}^2\text{s}$ $\text{A}^2\text{s}$

**電気的特性 / Characteristic Values**

			min.	typ.	max.
順電圧 Forward voltage	$T_{vj} = 150^\circ\text{C}, I_F = 50 \text{ A}$	$V_F$		1,05	V
逆電流 Reverse current	$T_{vj} = 150^\circ\text{C}, V_R = 1600 \text{ V}$	$I_R$		1,00	mA
ジャンクション・ ケース間熱抵抗 Thermal resistance, junction to case	/Diode ( 1 素子当り ) / per diode	$R_{thJC}$		0,85	K/W
ケース・ ヒートシンク間熱抵抗 Thermal resistance, case to heatsink	/Diode ( 1 素子当り ) / per diode $\lambda_{Paste} = 1 \text{ W}/(\text{m}\cdot\text{K}) / \lambda_{grease} = 1 \text{ W}/(\text{m}\cdot\text{K})$	$R_{thCH}$	0,465		K/W
動作温度 Temperature under switching conditions		$T_{vj op}$	-40	150	°C

prepared by: AS	date of publication: 2013-11-04
approved by: RS	revision: 2.0

**暫定データ  
Preliminary Data**
**IGBT-ブレーキチョッパー / IGBT, Brake-Chopper**
**最大定格 / Maximum Rated Values**

コレクタ・エミッタ間電圧 Collector-emitter voltage	$T_{vj} = 25^\circ\text{C}$	$V_{CES}$	1200	V
連続DCコレクタ電流 Continuous DC collector current	$I_C = 100^\circ\text{C}, T_{vj \max} = 175^\circ\text{C}$	$I_{C \text{ nom}}$	25	A
繰り返しピークコレクタ電流 Repetitive peak collector current	$t_P = 1 \text{ ms}$	$I_{CRM}$	50	A
トータル損失 Total power dissipation	$T_C = 25^\circ\text{C}, T_{vj \max} = 175^\circ\text{C}$	$P_{\text{tot}}$	160	W
ゲート・エミッタ間ピーク電圧 Gate-emitter peak voltage		$V_{GES}$	+/-20	V

**電気的特性 / Characteristic Values**

			min.	typ.	max.
コレクタ・エミッタ間飽和電圧 Collector-emitter saturation voltage	$I_C = 25 \text{ A}, V_{GE} = 15 \text{ V}$ $I_C = 25 \text{ A}, V_{GE} = 15 \text{ V}$ $I_C = 25 \text{ A}, V_{GE} = 15 \text{ V}$	$T_{vj} = 25^\circ\text{C}$ $T_{vj} = 125^\circ\text{C}$ $T_{vj} = 150^\circ\text{C}$	$V_{CE \text{ sat}}$	1,85 2,15 2,25	2,25 V V
ゲート・エミッタ間しきい値電圧 Gate threshold voltage	$I_C = 0,85 \text{ mA}, V_{CE} = V_{GE}, T_{vj} = 25^\circ\text{C}$	$V_{GETH}$	5,2	5,8	6,4
ゲート電荷量 Gate charge	$V_{GE} = -15 \text{ V} \dots +15 \text{ V}$	$Q_G$		0,20	$\mu\text{C}$
内蔵ゲート抵抗 Internal gate resistor	$T_{vj} = 25^\circ\text{C}$	$R_{Gint}$		0,0	$\Omega$
入力容量 Input capacitance	$f = 1 \text{ MHz}, T_{vj} = 25^\circ\text{C}, V_{CE} = 25 \text{ V}, V_{GE} = 0 \text{ V}$	$C_{ies}$		1,45	$n\text{F}$
帰還容量 Reverse transfer capacitance	$f = 1 \text{ MHz}, T_{vj} = 25^\circ\text{C}, V_{CE} = 25 \text{ V}, V_{GE} = 0 \text{ V}$	$C_{res}$		0,05	$n\text{F}$
コレクタ・エミッタ間遮断電流 Collector-emitter cut-off current	$V_{CE} = 1200 \text{ V}, V_{GE} = 0 \text{ V}, T_{vj} = 25^\circ\text{C}$	$I_{CES}$		1,0	mA
ゲート・エミッタ間漏れ電流 Gate-emitter leakage current	$V_{CE} = 0 \text{ V}, V_{GE} = 20 \text{ V}, T_{vj} = 25^\circ\text{C}$	$I_{GES}$		100	$n\text{A}$
ターンオン遅れ時間 (誘導負荷) Turn-on delay time, inductive load	$I_C = 25 \text{ A}, V_{CE} = 600 \text{ V}$ $V_{GE} = \pm 15 \text{ V}$ $R_{Gon} = 37 \Omega$	$T_{vj} = 25^\circ\text{C}$ $T_{vj} = 125^\circ\text{C}$ $T_{vj} = 150^\circ\text{C}$	$t_{d \text{ on}}$	0,05 0,06 0,06	$\mu\text{s}$ $\mu\text{s}$ $\mu\text{s}$
ターンオン上昇時間 (誘導負荷) Rise time, inductive load	$I_C = 25 \text{ A}, V_{CE} = 600 \text{ V}$ $V_{GE} = \pm 15 \text{ V}$ $R_{Gon} = 37 \Omega$	$T_{vj} = 25^\circ\text{C}$ $T_{vj} = 125^\circ\text{C}$ $T_{vj} = 150^\circ\text{C}$	$t_r$	0,03 0,04 0,05	$\mu\text{s}$ $\mu\text{s}$ $\mu\text{s}$
ターンオフ遅れ時間 (誘導負荷) Turn-off delay time, inductive load	$I_C = 25 \text{ A}, V_{CE} = 600 \text{ V}$ $V_{GE} = \pm 15 \text{ V}$ $R_{Goff} = 37 \Omega$	$T_{vj} = 25^\circ\text{C}$ $T_{vj} = 125^\circ\text{C}$ $T_{vj} = 150^\circ\text{C}$	$t_{d \text{ off}}$	0,34 0,43 0,45	$\mu\text{s}$ $\mu\text{s}$ $\mu\text{s}$
ターンオフ下降時間 (誘導負荷) Fall time, inductive load	$I_C = 25 \text{ A}, V_{CE} = 600 \text{ V}$ $V_{GE} = \pm 15 \text{ V}$ $R_{Goff} = 37 \Omega$	$T_{vj} = 25^\circ\text{C}$ $T_{vj} = 125^\circ\text{C}$ $T_{vj} = 150^\circ\text{C}$	$t_f$	0,05 0,07 0,08	$\mu\text{s}$ $\mu\text{s}$ $\mu\text{s}$
ターンオンスイッチング損失 Turn-on energy loss per pulse	$I_C = 25 \text{ A}, V_{CE} = 600 \text{ V}, L_S = \text{t.b.d. nH}$ $V_{GE} = \pm 15 \text{ V}$ $R_{Gon} = 37 \Omega$	$T_{vj} = 25^\circ\text{C}$ $T_{vj} = 125^\circ\text{C}$ $T_{vj} = 150^\circ\text{C}$	$E_{on}$	2,00 2,65 2,90	$\text{mJ}$ $\text{mJ}$ $\text{mJ}$
ターンオフスイッチング損失 Turn-off energy loss per pulse	$I_C = 25 \text{ A}, V_{CE} = 600 \text{ V}, L_S = \text{t.b.d. nH}$ $V_{GE} = \pm 15 \text{ V}$ $R_{Goff} = 37 \Omega$	$T_{vj} = 25^\circ\text{C}$ $T_{vj} = 125^\circ\text{C}$ $T_{vj} = 150^\circ\text{C}$	$E_{off}$	1,40 2,20 2,40	$\text{mJ}$ $\text{mJ}$ $\text{mJ}$
短絡電流 SC data	$V_{GE} \leq 15 \text{ V}, V_{CC} = 900 \text{ V}$ $V_{CEmax} = V_{CES} - L_{SC} \cdot di/dt$	$t_P \leq 10 \mu\text{s}, T_{vj} = 150^\circ\text{C}$	$I_{SC}$	90	A
ジャンクション・ケース間熱抵抗 Thermal resistance, junction to case	IGBT部 (1素子当り) / per IGBT		$R_{thJC}$		0,95 K/W
ケース・ヒートシンク間熱抵抗 Thermal resistance, case to heatsink	IGBT部 (1素子当り) / per IGBT $\lambda_{Paste} = 1 \text{ W}/(\text{m}\cdot\text{K})$ / $\lambda_{grease} = 1 \text{ W}/(\text{m}\cdot\text{K})$		$R_{thCH}$	0,52	K/W
動作温度 Temperature under switching conditions			$T_{vj \text{ op}}$	-40	150 °C

prepared by: AS	date of publication: 2013-11-04
approved by: RS	revision: 2.0

暫定データ  
Preliminary Data

## Diode、ブレーキチョッパー / Diode, Brake-Chopper

## 最大定格 / Maximum Rated Values

ピーク繰返し逆電圧 Repetitive peak reverse voltage	$T_{vj} = 25^\circ\text{C}$	$V_{RRM}$	1200	V
連続DC電流 Continuous DC forward current		$I_F$	15	A
ピーク繰返し順電流 Repetitive peak forward current	$t_P = 1 \text{ ms}$	$I_{FRM}$	30	A
電流二乗時間積 $I^2t$ - value	$V_R = 0 \text{ V}, t_P = 10 \text{ ms}, T_{vj} = 125^\circ\text{C}$	$I^2t$	48,0	$\text{A}^2\text{s}$

## 電気的特性 / Characteristic Values

			min.	typ.	max.
順電圧 Forward voltage	$I_F = 15 \text{ A}, V_{GE} = 0 \text{ V}$ $I_F = 15 \text{ A}, V_{GE} = 0 \text{ V}$ $I_F = 15 \text{ A}, V_{GE} = 0 \text{ V}$	$T_{vj} = 25^\circ\text{C}$ $T_{vj} = 125^\circ\text{C}$ $T_{vj} = 150^\circ\text{C}$	$V_F$	1,75 1,75 1,75	2,25 V V
ピーク逆回復電流 Peak reverse recovery current	$I_F = 15 \text{ A}, -di_F/dt = 1000 \text{ A}/\mu\text{s} (T_{vj}=150^\circ\text{C})$ $V_R = 600 \text{ V}$	$T_{vj} = 25^\circ\text{C}$ $T_{vj} = 125^\circ\text{C}$ $T_{vj} = 150^\circ\text{C}$	$I_{RM}$	20,0 22,0 23,0	A A A
逆回復電荷量 Recovered charge	$I_F = 15 \text{ A}, -di_F/dt = 1000 \text{ A}/\mu\text{s} (T_{vj}=150^\circ\text{C})$ $V_R = 600 \text{ V}$	$T_{vj} = 25^\circ\text{C}$ $T_{vj} = 125^\circ\text{C}$ $T_{vj} = 150^\circ\text{C}$	$Q_r$	1,50 2,50 2,70	$\mu\text{C}$ $\mu\text{C}$ $\mu\text{C}$
逆回復損失 Reverse recovery energy	$I_F = 15 \text{ A}, -di_F/dt = 1000 \text{ A}/\mu\text{s} (T_{vj}=150^\circ\text{C})$ $V_R = 600 \text{ V}$	$T_{vj} = 25^\circ\text{C}$ $T_{vj} = 125^\circ\text{C}$ $T_{vj} = 150^\circ\text{C}$	$E_{rec}$	0,55 0,90 1,00	$\text{mJ}$ $\text{mJ}$ $\text{mJ}$
ジャンクション・ケース間熱抵抗 Thermal resistance, junction to case	/Diode ( 1 素子当り ) / per diode		$R_{thJC}$		1,50 K/W
ケース・ヒートシンク間熱抵抗 Thermal resistance, case to heatsink	/Diode ( 1 素子当り ) / per diode $\lambda_{Paste} = 1 \text{ W}/(\text{m}\cdot\text{K})$ / $\lambda_{grease} = 1 \text{ W}/(\text{m}\cdot\text{K})$		$R_{thCH}$	0,82	K/W
動作温度 Temperature under switching conditions			$T_{vj op}$	-40	150 °C

## NTC-サーミスタ / NTC-Thermistor

## 電気的特性 / Characteristic Values

			min.	typ.	max.
定格抵抗値 Rated resistance	$T_C = 25^\circ\text{C}$	$R_{25}$		5,00	$\text{k}\Omega$
R100の偏差 Deviation of R100	$T_C = 100^\circ\text{C}, R_{100} = 493 \Omega$	$\Delta R/R$	-5	5	%
損失 Power dissipation	$T_C = 25^\circ\text{C}$	$P_{25}$		20,0	$\text{mW}$
B-定数 B-value	$R_2 = R_{25} \exp [B_{25/50}(1/T_2 - 1/(298,15 \text{ K}))]$	$B_{25/50}$		3375	K
B-定数 B-value	$R_2 = R_{25} \exp [B_{25/80}(1/T_2 - 1/(298,15 \text{ K}))]$	$B_{25/80}$		3411	K
B-定数 B-value	$R_2 = R_{25} \exp [B_{25/100}(1/T_2 - 1/(298,15 \text{ K}))]$	$B_{25/100}$		3433	K

適切なアプリケーションノートによる仕様  
Specification according to the valid application note.

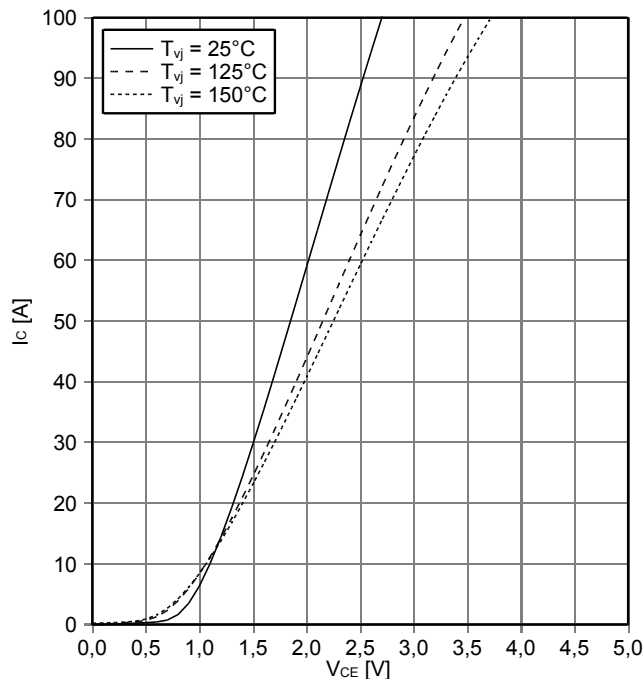
暫定データ  
Preliminary Data

## モジュール / Module

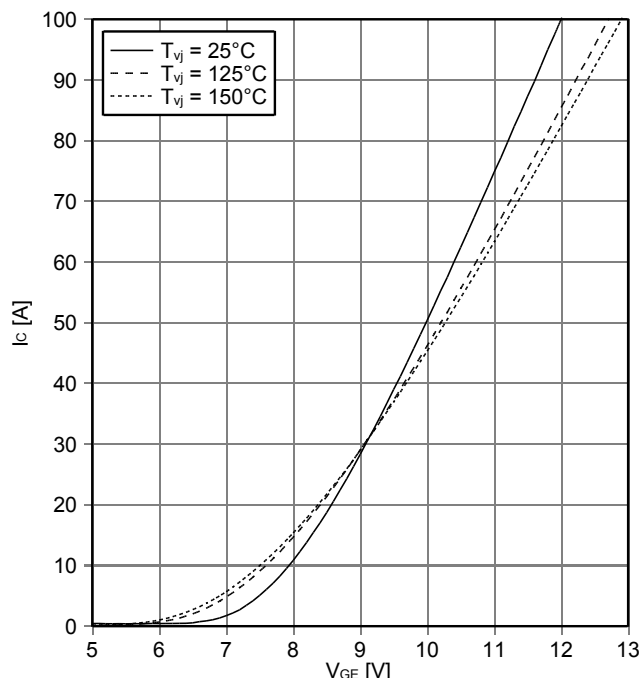
絶縁耐圧 Isolation test voltage	RMS, f = 50 Hz, t = 1 min.	V <sub>ISOL</sub>	2,5	kV
ベースプレート材質 Material of module baseplate			Cu	
内部絶縁 Internal isolation	基礎絶縁 (クラス1, IEC 61140) basic insulation (class 1, IEC 61140)		Al <sub>2</sub> O <sub>3</sub>	
沿面距離 Creepage distance	連絡方法 - ヒートシンク / terminal to heatsink 連絡方法 - 連絡方法 / terminal to terminal		10,0	mm
空間距離 Clearance	連絡方法 - ヒートシンク / terminal to heatsink 連絡方法 - 連絡方法 / terminal to terminal		7,5	mm
相対トラッキング指数 Comperative tracking index		CTI	> 200	
			min.	typ.
ケース・ヒートシンク間熱抵抗 Thermal resistance, case to heatsink	/モジュール / per module $\lambda_{\text{Paste}} = 1 \text{ W}/(\text{m}\cdot\text{K}) / \lambda_{\text{grease}} = 1 \text{ W}/(\text{m}\cdot\text{K})$	R <sub>thCH</sub>	0,02	K/W
内部インダクタンス Stray inductance module		L <sub>sCE</sub>	35	nH
最大ジャンクション温度 Maximum junction temperature	インバータ、ブレーキチョッパー / inverter, brake-chopper 整流器 / rectifier	T <sub>vj max</sub>	175 150	°C °C
動作温度 Temperature under switching conditions	インバータ、ブレーキチョッパー / inverter, brake-chopper 整流器 / rectifier	T <sub>vj op</sub>	-40 -40	150 150
保存温度 Storage temperature		T <sub>stg</sub>	-40	125 °C
取り付けネジ締め付けトルク Mounting torque for modul mounting	取り付けネジ M5 適切なアプリケーションノートによるマウンティング Screw M5 - Mounting according to valid application note	M	3,00	- 6,00 Nm
質量 Weight		G	180	g

暫定データ  
Preliminary Data

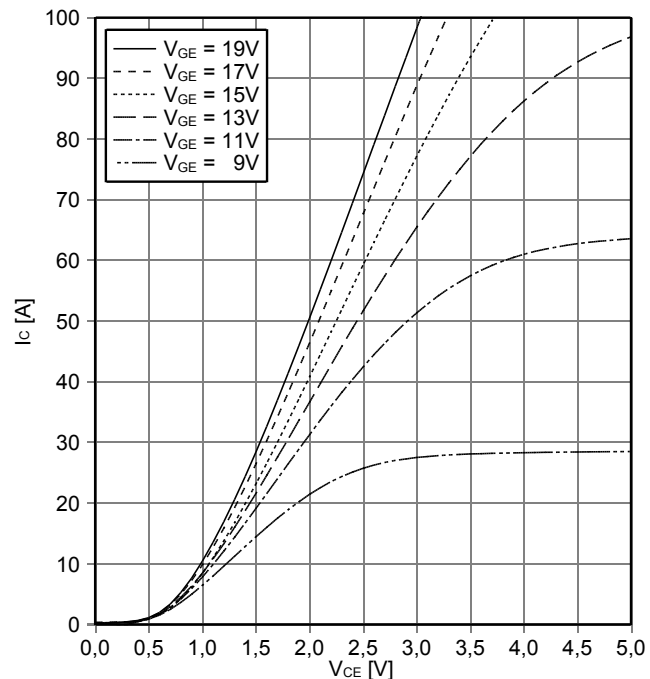
出力特性 IGBT- インバータ (Typical)  
output characteristic IGBT,Inverter (typical)  
 $I_c = f(V_{CE})$   
 $V_{GE} = 15 \text{ V}$



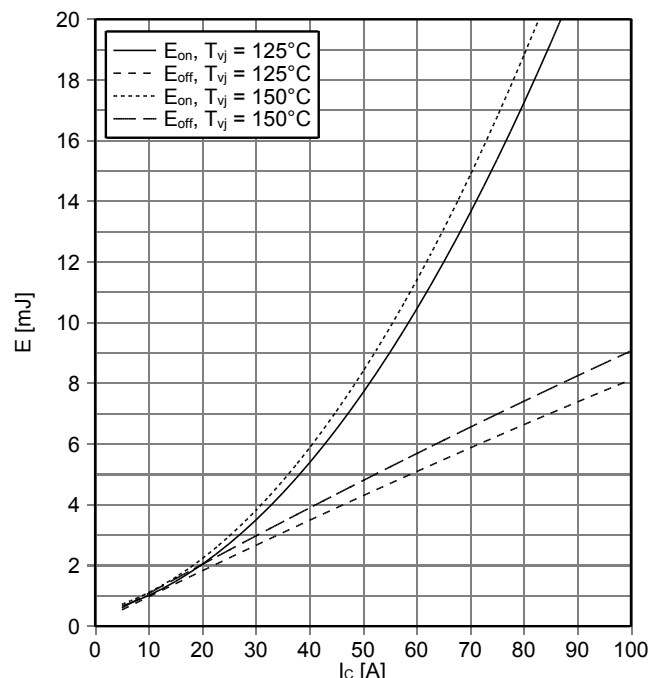
伝達特性 IGBT- インバータ (Typical)  
transfer characteristic IGBT,Inverter (typical)  
 $I_c = f(V_{GE})$   
 $V_{CE} = 20 \text{ V}$



出力特性 IGBT- インバータ (Typical)  
output characteristic IGBT,Inverter (typical)  
 $I_c = f(V_{CE})$   
 $T_{vj} = 150^\circ\text{C}$



スイッチング損失 IGBT- インバータ (Typical)  
switching losses IGBT,Inverter (typical)  
 $E_{on} = f(I_c)$ ,  $E_{off} = f(I_c)$   
 $V_{GE} = \pm 15 \text{ V}$ ,  $R_{Gon} = 15 \Omega$ ,  $R_{Goff} = 15 \Omega$ ,  $V_{CE} = 600 \text{ V}$



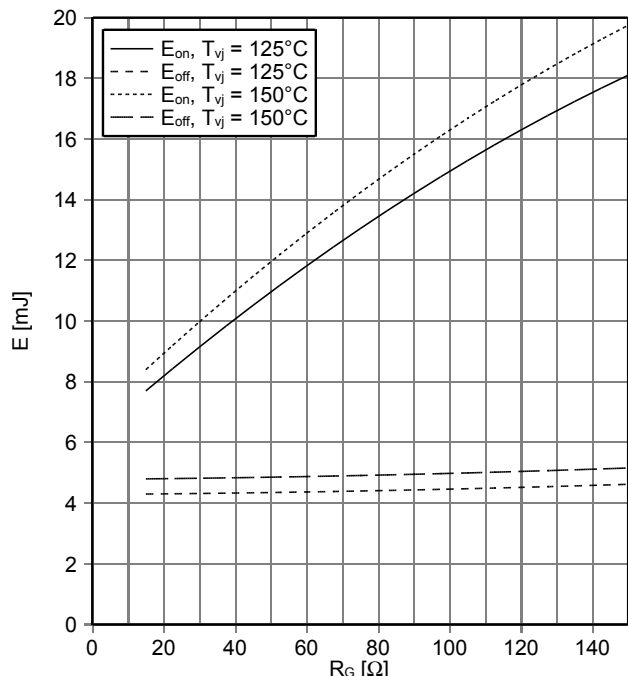
暫定データ  
Preliminary Data

## スイッチング損失 IGBT- インバータ (Typical)

switching losses IGBT,Inverter (typical)

$E_{on} = f(R_G), E_{off} = f(R_G)$

$V_{GE} = \pm 15 \text{ V}, I_C = 50 \text{ A}, V_{CE} = 600 \text{ V}$

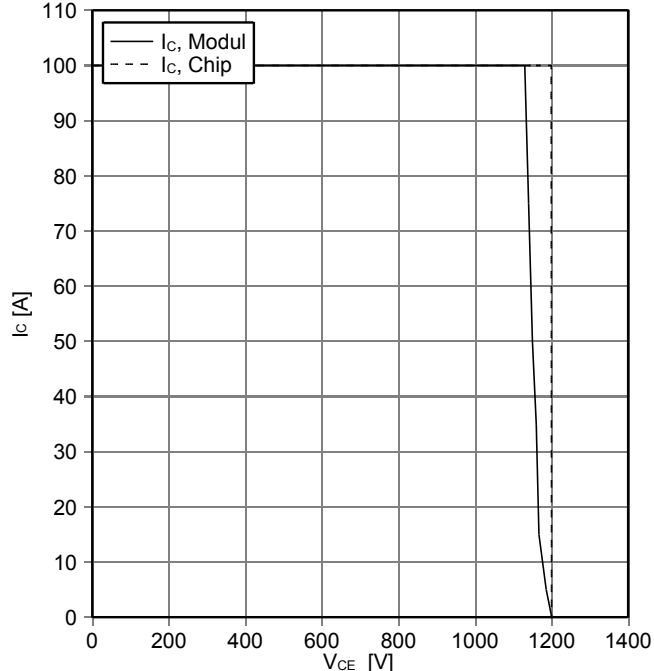


## 逆バイアス安全動作領域 IGBT- インバータ (RBSOA)

reverse bias safe operating area IGBT,Inverter (RBSOA)

$I_C = f(V_{CE})$

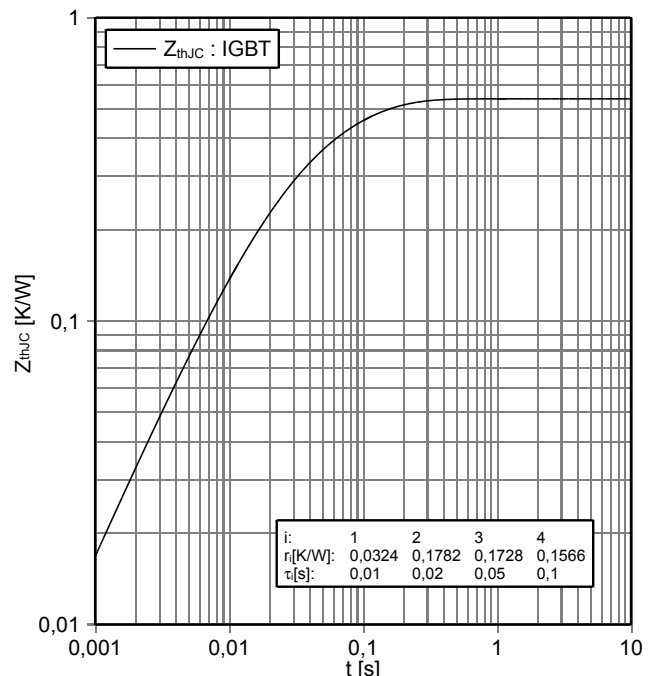
$V_{GE} = \pm 15 \text{ V}, R_{Goff} = 15 \Omega, T_{vj} = 150^\circ\text{C}$



## 過渡熱インピーダンス IGBT- インバータ

transient thermal impedance IGBT,Inverter

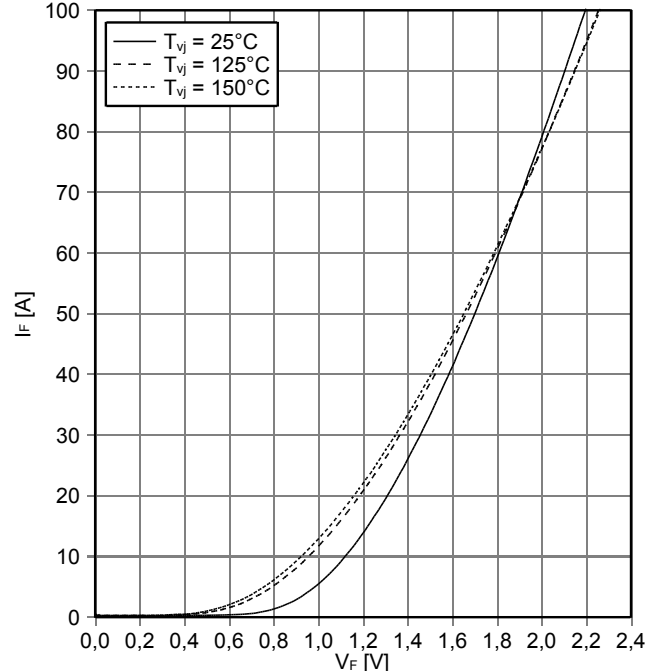
$Z_{thJC} = f(t)$

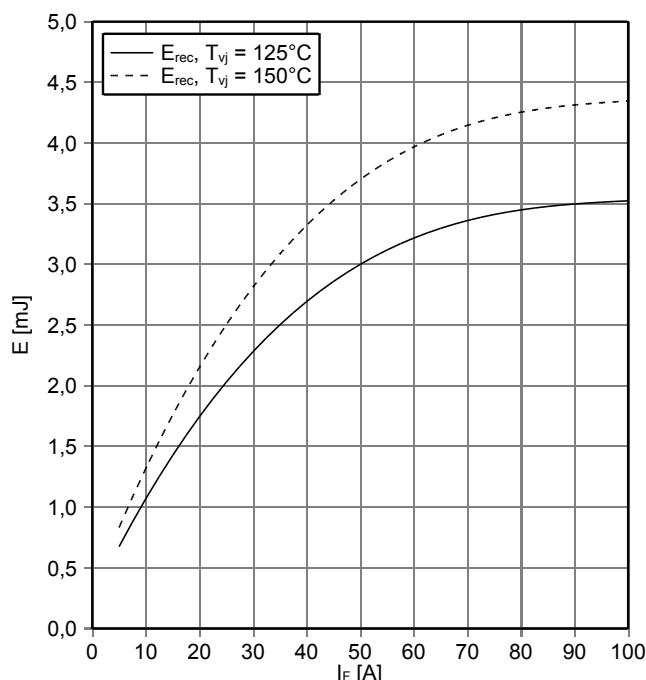
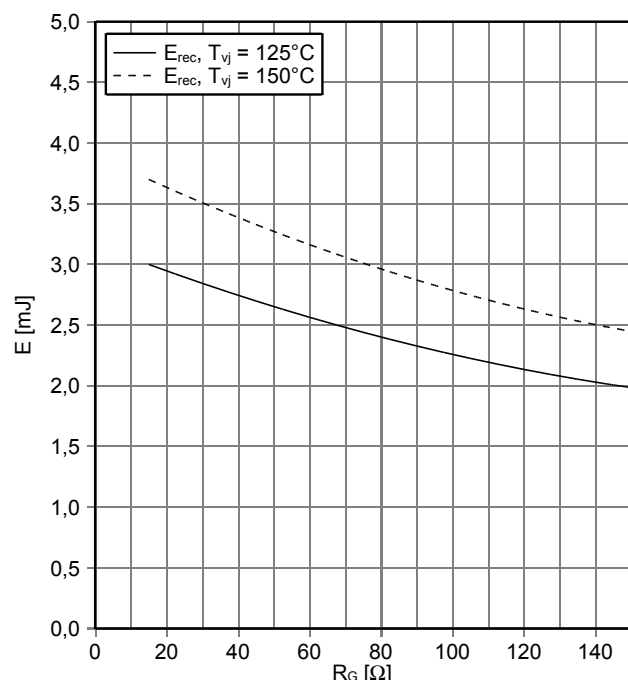
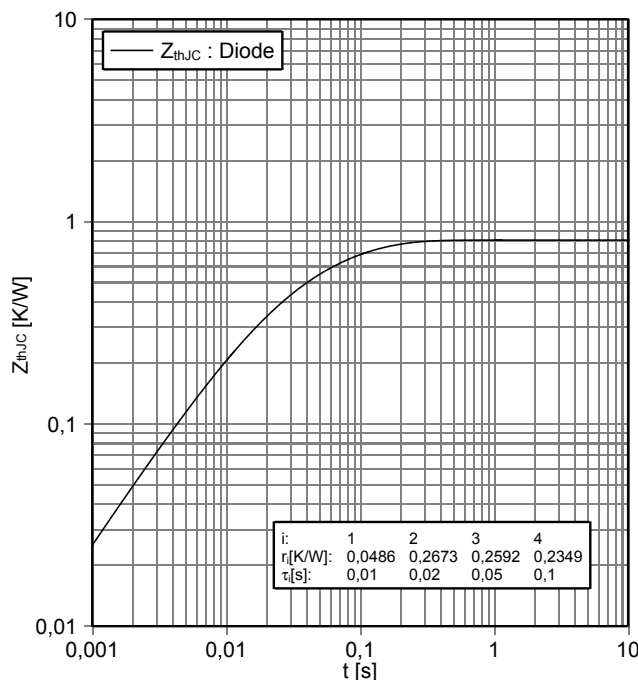
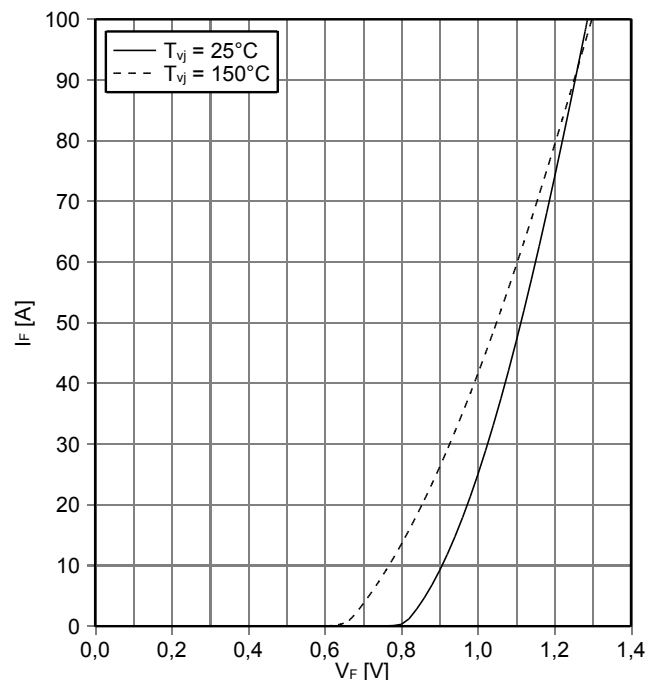


## 順電圧特性 Diode、インバータ (typical)

forward characteristic of Diode, Inverter (typical)

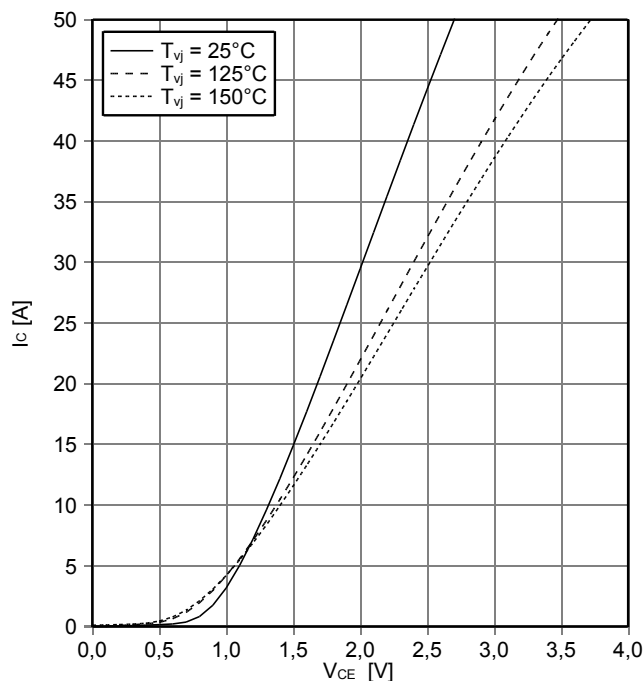
$I_F = f(V_F)$



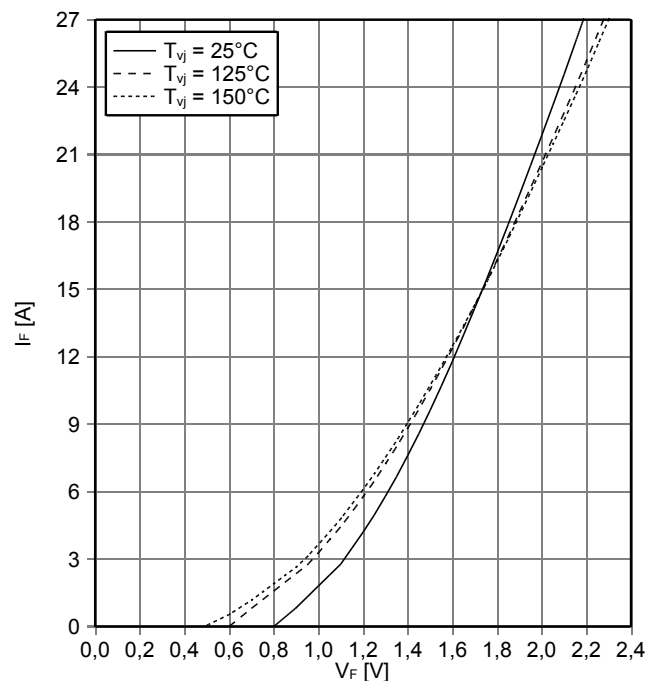
暫定データ  
Preliminary Dataスイッチング損失 Diode、インバータ (Typical)  
switching losses Diode, Inverter (typical)
 $E_{rec} = f(I_F)$   
 $R_{Gon} = 15 \Omega$ ,  $V_{CE} = 600 \text{ V}$ 
スイッチング損失 Diode、インバータ (Typical)  
switching losses Diode, Inverter (typical)
 $E_{rec} = f(R_G)$   
 $I_F = 50 \text{ A}$ ,  $V_{CE} = 600 \text{ V}$ 
過渡熱インピーダンス Diode、インバータ  
transient thermal impedance Diode, Inverter  
 $Z_{thJC} = f(t)$ 順方向特性 Diode、整流器 (典型)  
forward characteristic of Diode, Rectifier (typical)  
 $I_F = f(V_F)$ 

暫定データ  
Preliminary Data

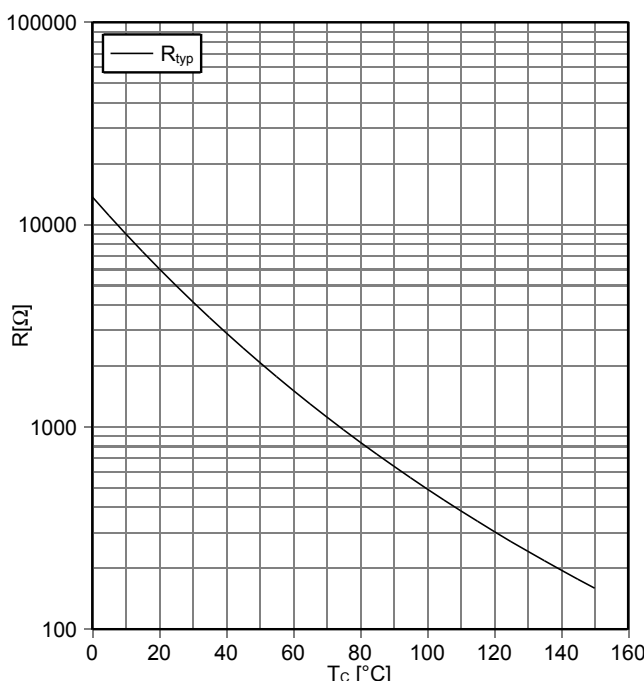
出力特性 IGBT-ブレーキチョッパー (Typical)  
**output characteristic IGBT, Brake-Chopper (typical)**  
 $I_C = f(V_{CE})$   
 $V_{GE} = 15 \text{ V}$



順電圧特性 Diode、ブレーキチョッパー (typical)  
**forward characteristic of Diode, Brake-Chopper (typical)**  
 $I_F = f(V_F)$



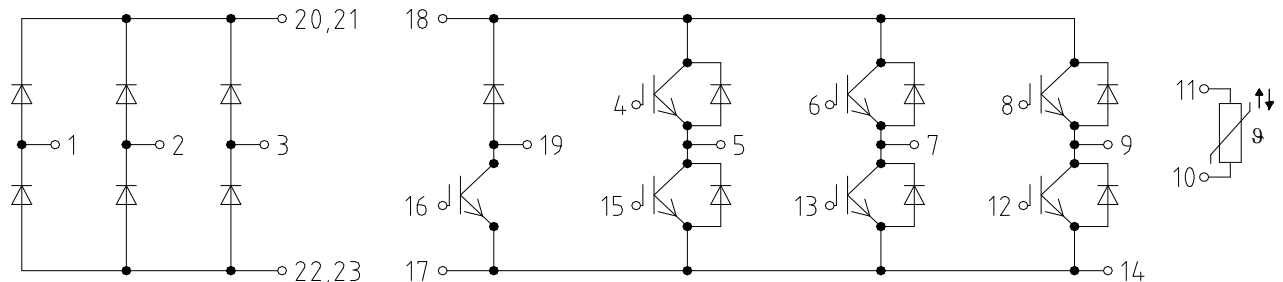
NTC-サーミスタ サーミスタの温度特性  
**NTC-Thermistor-temperature characteristic (typical)**  
 $R = f(T)$



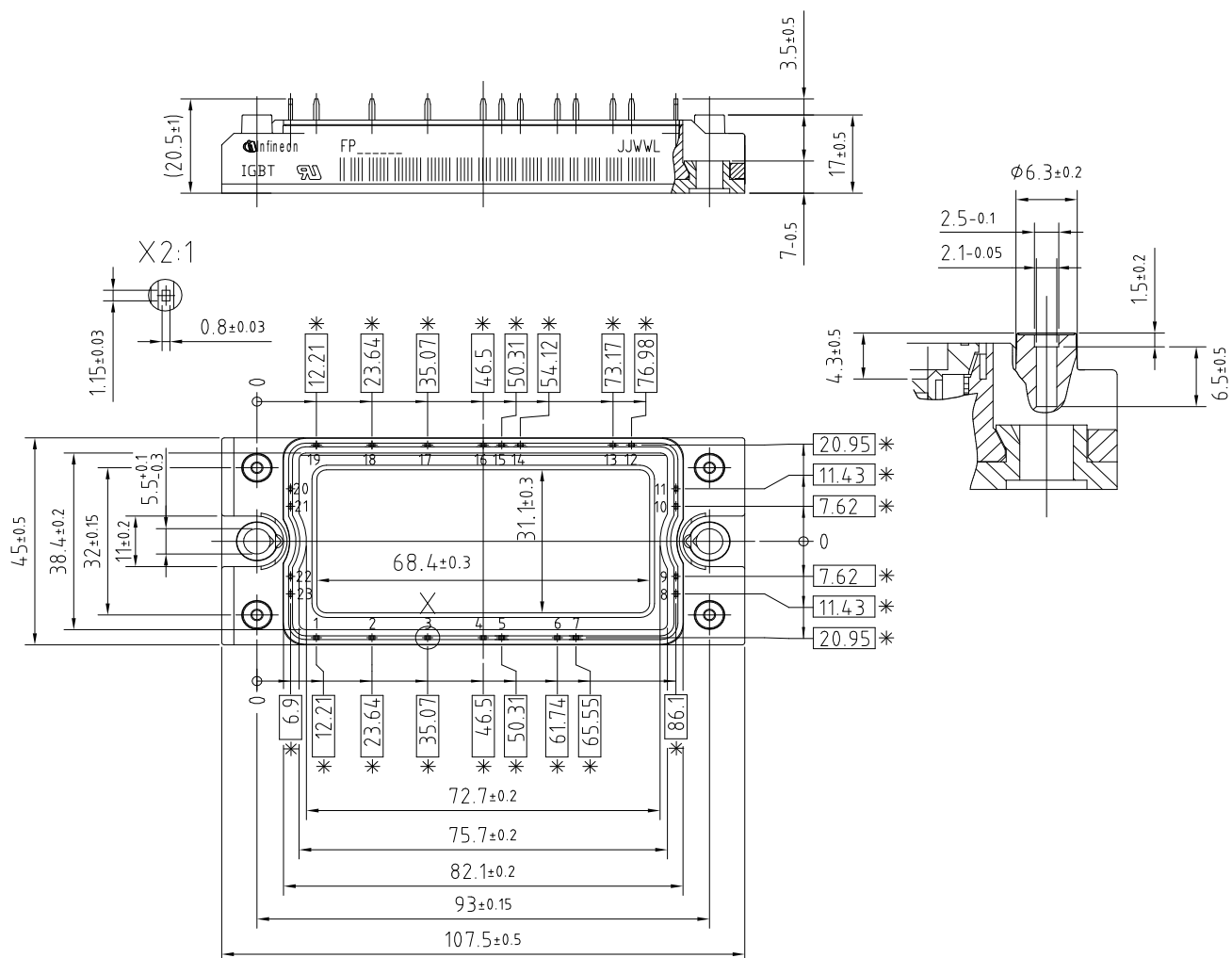
prepared by: AS	date of publication: 2013-11-04
approved by: RS	revision: 2.0

暫定データ  
Preliminary Data

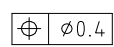
## 回路図 / circuit\_diagram\_headline



## パッケージ概要 / package outlines



\* = alle Maße mit einer Toleranz von  
 \* = all dimensions with tolerance of



prepared by: AS	date of publication: 2013-11-04
approved by: RS	revision: 2.0